

# Techniques de Modélisation - TP

Mathys JAM

Ugo BATTISTON

March 31, 2022

L'objectif de ce TP est de résoudre analytiquement et numériquement l'EDP (E1) suivante :

$$\begin{aligned}u_t(x, t) &= u_{xx}(x, t) \quad \forall x \in ]0, 1[, \quad \forall t > 0 \\u(0, t) &= u(1, t) = 0 \quad \forall t > 0 \\u(x, 0) &= f(x) \quad \forall x \in ]0, 1[\end{aligned}$$

## 1 Solution analytique

### 1.1 Formule générale

Soit  $X(x), T(t)$  tq  $u(x, t) = X(x)T(t)$

En remplaçant dans l'EDP, on obtient

$$\begin{aligned}X(x)T'(t) &= X''(x)T(t) \\ \Leftrightarrow \frac{T'(t)}{T(t)} &= \frac{X''(x)}{X(x)} = -\lambda\end{aligned}$$

On obtient donc le système :

$$\begin{cases} X''(x) + \lambda X(x) = 0 \\ T'(t) + \lambda T(t) = 0 \\ X(0)T(t) = X(1)T(t) = 0 \\ X(x)T(0) = f(x) \end{cases}$$

D'où  $T(t) = 0$  ou  $X(0) = X(1) = 0$

On s'intéresse aux solutions non triviales  $X(0) = X(1) = 0$ . On résout l'EDO  $X''(x) + \lambda X(x) = 0$   
Équation caractéristique  $r^2 + \lambda = 0$  d'où  $r = \sqrt{-\lambda}$ .

**cas**  $\lambda < 0$

$$X(x) = c_1 e^{\sqrt{-\lambda}x} + c_2 e^{-\sqrt{-\lambda}x}$$

D'après les conditions aux bords :

$$\begin{aligned} X(0) &= c_1 + C_2 = 0 \\ \Leftrightarrow c_1 &= -c_2 \end{aligned}$$

$$X(1) = c_1(e^{\sqrt{-\lambda}x} - e^{-\sqrt{-\lambda}x}) = 0$$

D'où  $c_1 = 0$  solution triviale.

**cas**  $\lambda = 0$

$$X(x) = (\alpha x + \beta)e^{\sqrt{-\lambda}x}$$

D'après les conditions aux bords :

$$\begin{aligned} X(0) &= \beta = 0 \\ X(1) &= \alpha e^{\sqrt{-\lambda}} = 0 \\ \Leftrightarrow \alpha &= 0 \end{aligned}$$

D'où  $X = 0$  solution triviale.

**cas**  $\lambda > 0$

$$X(x) = c_1 \cos(\sqrt{\lambda}x) + c_2 \sin(\sqrt{\lambda}x)$$

D'après les conditions aux bords :

$$\begin{aligned} X(0) &= c_1 = 0 \\ X(1) &= c_2 \sin(\sqrt{\lambda}) = 0 \end{aligned}$$

D'où  $c_1 = 0$  solution triviale, ou  $\sin(\sqrt{\lambda}) = 0 \Rightarrow \lambda = (k\pi)^2$   
On injecte dans  $T'(t) + \lambda T(t) = 0$

$$\begin{aligned} T'(t) + \lambda T(t) &= 0 \\ \Leftrightarrow T'(t) + (k\pi)^2 T(t) &= 0 \\ \Leftrightarrow T'(t) &= -(k\pi)^2 T(t) \\ \Leftrightarrow T(t) &= c_3 e^{-(k\pi)^2 t} \end{aligned}$$

D'où

$$u(x, t) = X(x)T(t) = \alpha e^{-(k\pi)^2 t} \sin(k\pi x)$$

Avec  $\alpha = c_3 c_2$

En appliquant le principe de superposition :

$$u(x, t) = \sum_{k=1}^{+\infty} \alpha_k e^{-(k\pi)^2 t} \sin(k\pi x)$$

D'après les conditions aux bords :

$$\begin{aligned} u(x, 0) &= f(x) \\ \sum_{k=1}^{+\infty} \alpha_k \sin(k\pi x) &= f(x) \end{aligned}$$

On reconnaît une série de Fourier en sinus, d'où

$$\alpha_k = 2 \int_0^1 f(x) \sin(k\pi x) dx$$

## 1.2 Pour f1

pour  $f_1 = \sin(2\pi x)$  et  $k = 2$

$$\alpha_2 = 2 \int_0^1 \sin(2\pi x)^2 dx$$

En utilisant les identités trigonométriques :

$$\begin{aligned} \alpha_2 &= 2 \int_0^1 \sin(2\pi x)^2 dx \\ &= 2 \int_0^1 \frac{1 - \cos(2\pi x)}{2} dx \\ &= \int_0^1 1 dx - \int_0^1 \cos(2\pi x) dx \\ &= [x]_0^1 - \left[ \frac{\sin(2\pi x)}{2\pi} \right]_0^1 \\ &= (1 - 0) - \frac{\sin(2\pi)}{2\pi} + \frac{\sin(0)}{2\pi} \\ \alpha_2 &= 1 \end{aligned}$$

D'où

$$u(x, t) = e^{(-k\pi)^2 t} \sin(k\pi x)$$

## 1.3 Pour f2

pour  $f_2 = \begin{cases} 2x, & \text{si } x \in ]0, \frac{1}{2}] \\ 2(1-x), & \text{si } x \in ]\frac{1}{2}, 1[ \end{cases}$

$$a_k = 2 \int_0^{1/2} 2x \sin(k\pi x) dx + 2 \int_{1/2}^1 2(1-x) \sin(k\pi x) dx$$

On étudie séparément

$$\begin{cases} \int_0^{1/2} 2x \sin(k\pi x) dx & (a) \\ \int_{1/2}^1 2(1-x) \sin(k\pi x) dx & (b) \end{cases}$$

En utilisant  $\int_a^b uv' dx = [uv]_a^b - \int_a^b u'v dx$  avec  $u = 2x$  et  $v = \sin(k\pi x)$  on obtient

$$\begin{aligned} (a) &= \left[ 2x \frac{-\cos(k\pi x)}{k\pi} \right]_0^{1/2} - \int_0^{1/2} -2 \frac{\cos(k\pi x)}{k\pi} dx \\ &= \frac{-\cos(\frac{k\pi}{2})}{2} + \frac{2}{(k\pi)^2} \sin(\frac{k\pi}{2}) \end{aligned}$$

En faisant de même avec (b), on obtient

$$\begin{aligned} (b) &= \left[ 2(1-x)x - \frac{-\cos(k\pi x)}{k\pi} \right]_{1/2}^1 + \int_{1/2}^1 \frac{2\cos(k\pi x)}{k\pi} dx \\ &= \frac{\cos(\frac{k\pi}{2})}{k\pi} + \frac{2\sin(\frac{k\pi}{2})}{(k\pi)^2} \end{aligned}$$

On réinjecte dans la formule de base et on obtient

$$\begin{aligned} a_k &= 2((a) + (b)) \\ &= 2 \frac{4\sin(\frac{k\pi}{2})}{(k\pi)^2} \\ &= \frac{8\sin(\frac{k\pi}{2})}{(k\pi)^2} \end{aligned}$$

D'où

$$u(x, t) = \sum_{k=1}^{+\infty} \frac{8\sin(\frac{k\pi}{2})}{(k\pi)^2} e^{(-k\pi)^2 t} \sin(k\pi x)$$

## 2 Solution Numérique : schéma explicite

On discrétise l'espace et le temps :

$$\begin{cases} x_0 = 0 \\ x_1 = \Delta x \\ x_n = n\Delta x \end{cases} \quad \begin{cases} t_0 = 0 \\ t_1 = \Delta t \\ t_n = n\Delta t \end{cases}$$

Pour le temps :

$$U'(x_k, t_k) = \frac{U(x_k, t_{k+1}) - U(x_k, t_k)}{\Delta t}$$

Ce qui correspond à un schéma décentré à droite d'ordre 1.

Pour l'espace :

$$U''(x_k, t_k) = \frac{U(x_{k+1}, t_k) - 2U(x_k, t_k) + U(x_{k-1}, t_k)}{\Delta x^2}$$

Ce qui correspond a un schéma centrée d'ordre deux.

On pose  $U_i^j = U(x_i, t_j)$

En remplaçant dans l'EDP  $u_t = u_{xx}$  on obtient :

$$\begin{aligned}\frac{U_i^{j+1} - U_i^j}{\Delta t} &= \frac{U_{i+1}^j - 2U_i^j + U_{i-1}^j}{\Delta x^2} \\ U_i^{j+1} &= \frac{\Delta t}{\Delta x^2} (U_{i+1}^j - 2U_i^j + U_{i-1}^j) + U_i^j \\ &= \eta U_{i+1}^j - 2\eta U_i^j + \eta U_{i-1}^j + U_i^j \\ &= \eta U_{i-1}^j + (1 - 2\eta)U_i^j + \eta U_{i+1}^j \quad (c)\end{aligned}$$

Avec  $\eta = \frac{\Delta t}{\Delta x^2}$

## 2.1 Stabilité du schéma

Pour que le schéma explicite soit stable, il suffit que :

$$\eta < \frac{1}{2}$$

## 2.2 Forme matricielle

On peut mettre (c) sous la forme matricielle

$$AU^j = U^{j+1}$$

Avec

$$A = \begin{bmatrix} 1 & 0 & \dots & \dots & 0 \\ \eta & (1 - 2\eta) & \eta & 0 & \vdots \\ 0 & \ddots & \ddots & \ddots & 0 \\ \vdots & 0 & \eta & (1 - 2\eta) & \eta \\ 0 & \dots & \dots & 0 & 1 \end{bmatrix}$$

D'après les conditions au bords :

$$U^0 = \begin{bmatrix} 0 \\ f(x_1) \\ \vdots \\ f(x_{n-1}) \\ 0 \end{bmatrix}$$

et

$$U^j = \begin{bmatrix} 0 \\ U_1^j \\ U_2^j \\ \vdots \\ U_i^j \\ 0 \end{bmatrix}$$

### 3 Solution Numérique : schéma implicite

On utilise la même discretisation que précédemment.

Pour le temps :

$$\begin{aligned} U'(x, t_{k+1}) &= \frac{U(x, t_{k+1}) - U(x, t_k)}{\Delta t} \\ &= \frac{U_i^{j+1} - U_i^j}{\Delta t} \end{aligned}$$

Pour l'espace :

$$\begin{aligned} U''(x_{k+1}, t_{k+1}) &= \frac{U(x_{k+1}, t_{k+1}) - 2U(x_k, t_{k+1}) + U(x_{k-1}, t_{k+1})}{\Delta x^2} \\ &= \frac{U_{i+1}^{j+1} - 2U_i^{j+1} + U_{i-1}^{j+1}}{\Delta x^2} \end{aligned}$$

En remplaçant dans l'EDP  $u_t = u_{xx}$  on obtient :

$$\frac{U_i^{j+1} - U_i^j}{\Delta t} = \frac{U_{i+1}^{j+1} - 2U_i^{j+1} + U_{i-1}^{j+1}}{\Delta x^2}$$

On pose  $\eta = \frac{\Delta t}{\Delta x^2}$

On obtient

$$\begin{aligned} U_i^j &= U_i^{j+1} - \eta U_{i+1}^{j+1} + 2\eta U_i^{j+1} - \eta U_{i-1}^{j+1} \\ &= -\eta U_{i+1}^{j+1} + (1 + 2\eta)U_i^{j+1} - \eta U_{i-1}^{j+1} + 1 \quad (d) \end{aligned}$$

#### 3.1 Stabilité du schéma

Pour un schéma implicite, le système est stable pour n'importe quelle valeur de  $\eta$ .

#### 3.2 Forme matricielle

On peut mettre (d) sous la forme matricielle :

$$\begin{aligned} U^j &= AU^{j+1} \\ \Leftrightarrow U^{j+1} &= A^{-1}U^j \end{aligned}$$

Avec

$$A = \begin{bmatrix} 1 & 0 & \dots & \dots & 0 \\ -\eta & (1 + 2\eta) & -\eta & 0 & \vdots \\ 0 & \ddots & \ddots & \ddots & 0 \\ \vdots & 0 & -\eta & (1 + 2\eta) & -\eta \\ 0 & \dots & \dots & 0 & 1 \end{bmatrix}$$

On peut trouver  $U^0$  et  $U^j$  en appliquant les conditions au bords de la même manière que pour le schéma explicite.

## 4 Solution Numérique : schéma de Crank-Nicholson

On utilise la même discretisation que précédemment.

Le schéma numérique de Crank-Nicholson s'obtient en faisant la moyenne du schéma explicite et implicite.

Schéma explicite :

$$\frac{U_i^{j+1} - U_i^j}{\Delta t} = \frac{U_{i+1}^j - 2U_i^j + U_{i-1}^j}{\Delta x^2}$$

Schéma implicite :

$$\frac{U_i^{j+1} - U_i^j}{\Delta t} = \frac{U_{i+1}^{j+1} - 2U_i^{j+1} + U_{i-1}^{j+1}}{\Delta x^2}$$

Schéma implicite :

$$\frac{U_i^{j+1} - U_i^j}{\Delta t} = \frac{1}{2} \left( \frac{U_{i+1}^j - 2U_i^j + U_{i-1}^j}{\Delta x^2} + \frac{U_{i+1}^{j+1} - 2U_i^{j+1} + U_{i-1}^{j+1}}{\Delta x^2} \right)$$

On pose  $\eta = \frac{\Delta t}{2\Delta x^2}$

$$\begin{aligned} U_i^{j+1} - U_i^j &= \eta U_{i+1}^j - 2\eta U_i^j + \eta U_{i-1}^j + \eta U_{i+1}^{j+1} - 2\eta U_i^{j+1} + \eta U_{i-1}^{j+1} \\ U_i^{j+1} - \eta U_{i+1}^{j+1} + 2\eta U_i^{j+1} - \eta U_{i-1}^{j+1} &= \eta U_{i+1}^j - 2\eta U_i^j + \eta U_{i-1}^j + U_i^j \\ -\eta U_{i+1}^{j+1} + (1 + 2\eta)U_i^{j+1} - \eta U_{i-1}^{j+1} &= \eta U_{i+1}^j + (1 - 2\eta)U_i^j + \eta U_{i-1}^j \quad (e) \end{aligned}$$

### 4.1 Ordre du schéma

**En temps**

$$(1) U(x, t_k)$$

$$(2) U(x, t_{k+1}) = U(x, t_k) + \Delta t * U'(x, t_k) + \frac{\Delta t^2}{2!} * u''(x, t_k) + \frac{\Delta t^3}{3!} * r(\Delta t)$$

$$\begin{aligned} (2) - (1) &= \Delta t * U'(x, t_k) - \frac{\Delta t^2}{2!} * u''(x, t_k) - \frac{\Delta t^3}{3!} * r(\Delta t) \\ \frac{U(x, t_{k+1}) - U(x, t)}{\Delta t} &= U'(x, t_k) - \frac{\Delta t}{2!} * u''(x, t_k) - \frac{\Delta t^2}{3!} * r(\Delta t) \\ \left| \frac{U(x, t_{k+1}) - U(x, t)}{\Delta t} - U'(x, t_k) \right| &= \left| -\frac{\Delta t}{2!} * u''(x, t_k) - \frac{\Delta t^2}{3!} * r(\Delta t) \right| \\ \left| \frac{U(x, t_{k+1}) - U(x, t)}{\Delta t} - U'(x, t_k) \right| &= \left| -\Delta t * \frac{1}{2!} * u''(x, t_k) - \frac{\Delta t}{3!} * r(\Delta t) \right| \end{aligned}$$

Le schéma est à l'ordre 1 en temps.

### En espace

$$(1) U(x_{k+1}, t) = U(x_k, t) + \Delta x * U'(x_k, t) + \frac{\Delta x^2}{2!} * u''(x_k, t) + \frac{\Delta x^3}{3!} * u^{(3)}(x_k, t) + \frac{\Delta x^4}{4!} * u^{(4)}(x_k, t) + \frac{\Delta x^5}{5!} * r(\Delta x)$$

$$(2) U(x_k, t)$$

$$(3) U(x_{k-1}, t) = U(x_k, t) - \Delta x * U'(x_k, t) + \frac{\Delta x^2}{2!} * u''(x_k, t) - \frac{\Delta x^3}{3!} * u^{(3)}(x_k, t) - \frac{\Delta x^4}{4!} * u^{(4)}(x_k, t) + \frac{\Delta x^5}{5!} * r(\Delta x)$$

$$(1) - 2 * (2) + (3) = \Delta x^2 * U''(x_k, t) + \frac{\Delta x^4}{4!} * u^{(4)}(x_k, t) + \frac{\Delta x^5}{5!} * r(\Delta x)$$

$$\frac{U(x_{k+1}, t) - 2 * U(x_k, t) + U(x_{k-1}, t)}{\Delta x^2} = U''(x_k, t) + \frac{\Delta x^2}{4!} * u^{(4)}(x_k, t) + \frac{\Delta x^3}{5!} * r(\Delta x)$$

$$\left| \frac{U(x_{k+1}, t) - 2 * U(x_k, t) + U(x_{k-1}, t)}{\Delta x^2} - U''(x_k, t) \right| = \Delta x^2 \left| \frac{1}{4!} * u^{(4)}(x_k, t) + \frac{\Delta x}{5!} * r(\Delta x) \right|$$

Le schéma est donc à l'ordre 2 en temps.

### 4.2 Stabilité du schéma

La stabilité du schéma de Crank-Nicholson dépend de la stabilité des schémas qui le compose (Stabilité du schéma et Stabilité du schéma). Si les deux schémas sont stables alors le schéma de Crank-Nilcholson est stable.

### 4.3 Forme matricielle

On peut mettre (e) sous la forme matricielle :

$$B * U^{j+1} = A * U^j$$

$$U^{j+1} = B^{-1} * A * U^j$$

Avec

$$A = \begin{bmatrix} 1 & 0 & \dots & \dots & 0 \\ \eta & (1-2\eta) & \eta & 0 & \vdots \\ 0 & \ddots & \ddots & \ddots & 0 \\ \vdots & 0 & \eta & (1-2\eta) & \eta \\ 0 & \dots & \dots & 0 & 1 \end{bmatrix}$$

$$B = \begin{bmatrix} 1 & 0 & \dots & \dots & 0 \\ -\eta & (1+2\eta) & -\eta & 0 & \vdots \\ 0 & \ddots & \ddots & \ddots & 0 \\ \vdots & 0 & -\eta & (1+2\eta) & -\eta \\ 0 & \dots & \dots & 0 & 1 \end{bmatrix}$$



On peut trouver  $U^0$  et  $U^j$  en appliquant les conditions au bords de la même manière que pour le schéma explicite.

## 5 Résultats

En respectant les conditions nécessaires pour que les différents schémas soit stable, on obtient les différents graphiques :

### 5.1 Résultats fonction f1

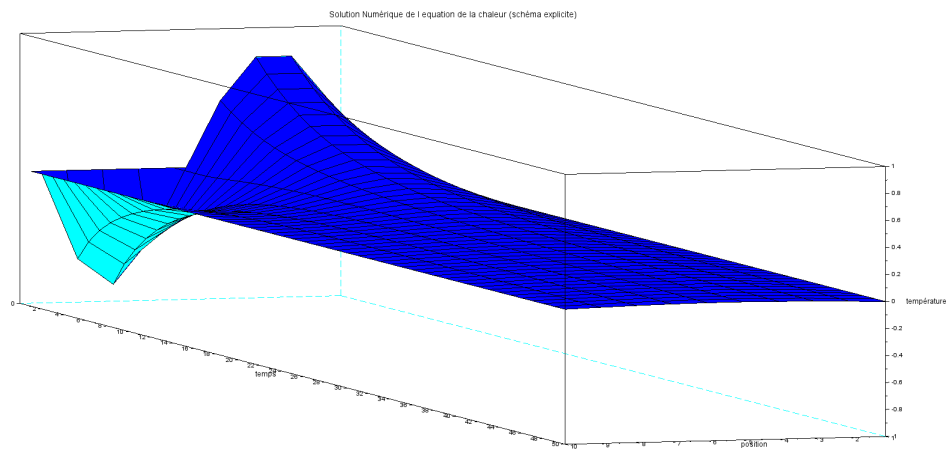


Figure 1: Schéma explicite de la solution numérique avec la fonction f1

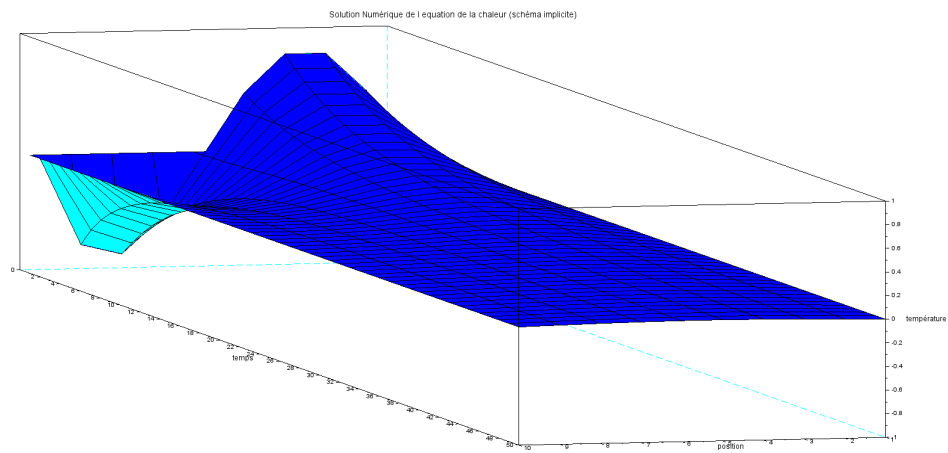


Figure 2: Schéma implicite de la solution numérique avec la fonction f1

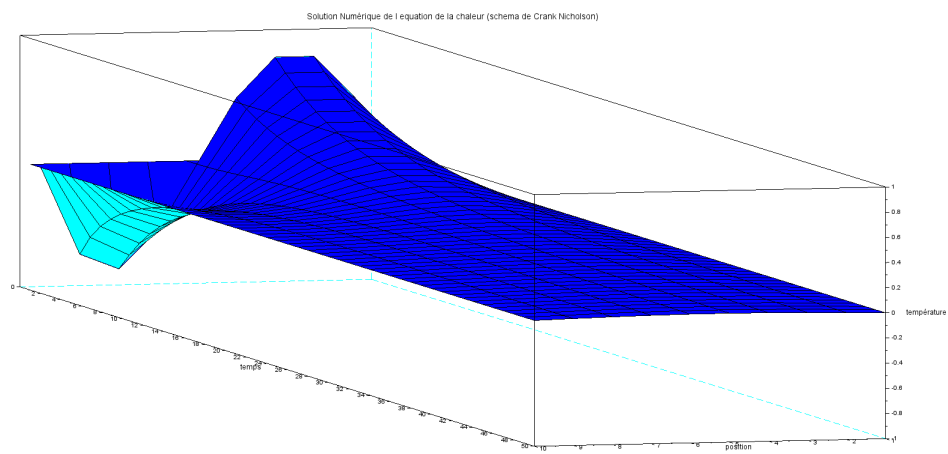


Figure 3: Schéma Crank-Nicholson de la solution numérique avec la fonction f1

## 5.2 Résultats fonction f2

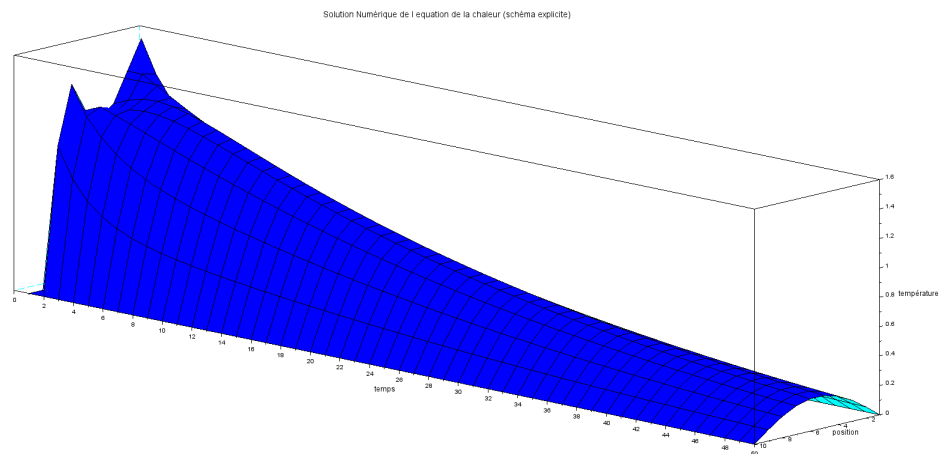


Figure 4: Schéma explicite de la solution numérique avec la fonction f2

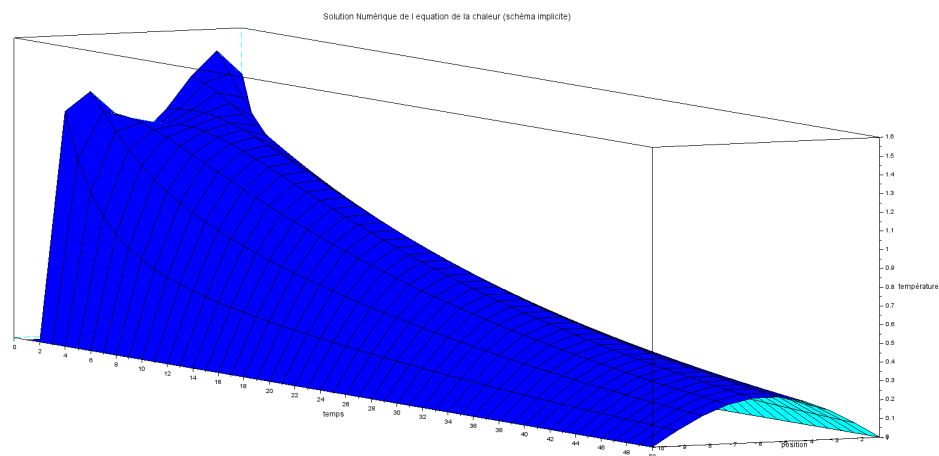


Figure 5: Schéma implicite de la solution numérique avec la fonction f2

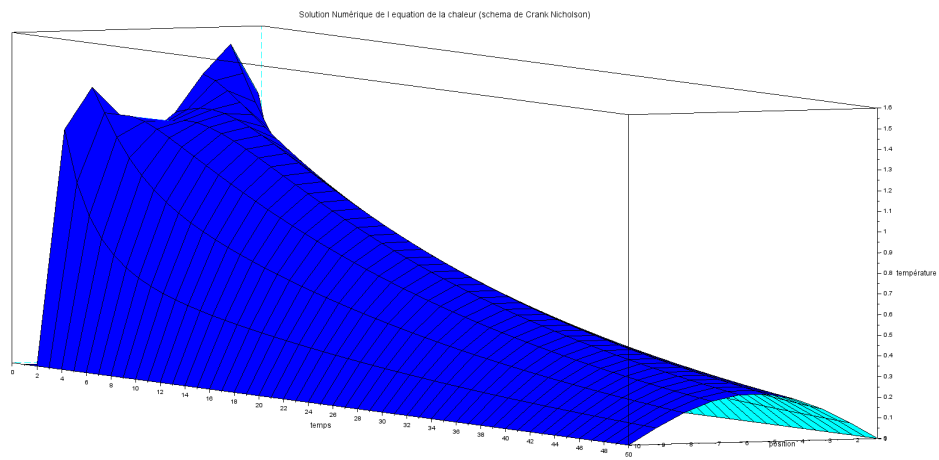


Figure 6: Schéma Crank-Nicholson de la solution numérique avec la fonction  $f_2$

Nous observons que pour les deux fonctions, nous obtenons des résultats similaires avec les 3 schémas, vérifiant ainsi de manière empirique le projet.